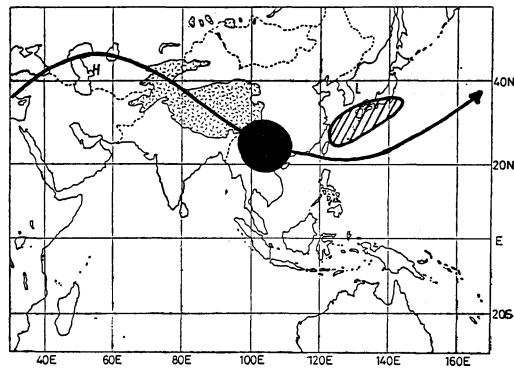


(a)



(b)

第5図 熱源(黒い円)による強制に伴う安定な下層大気の流れ。Hoskin and Karoly (1981) による Yasunari (1986) の模式図をアジア地域に適用。(a): 非断熱限界(Diabatic Limit)が多く出現する夏。(インドモンスーンの多雨年)

黒い部分は東アジアにおける多雨域。矢印は500 mb面までの下層大気の模式的な流れ。

(b): 水平移流限界(Advective limit)が多く出現する夏。(インドモンスーンの少雨年)。

時に発達するブロッキング高気圧(Tanaka, 1983; Yasunari, 1986)であるが、小雨年には中休みが長いので、平均図でも出現している(Tanaka, 1982)。したがってアジアモンスーン降水による熱源の年々の変動による大気的非線形な応答によって、モンスーンとユーラシア大陸上の大気循環が深く結びついていると考えられる。

文献

- Bhalme, H.N., and S.K. Jadhav, 1984: The Southern Oscillation and its Relation to the Monsoon Rainfall. *J. Climatol.*, 4, 509-520.
- Hoskins, B.J. and D.J. Karoly, 1981: The Steady Linear Response of a Spherical Atmosphere to thermal and Orographic Forcing. *J. Atmos. Sci.*, 38, 1179-1196.
- Krishnamurti, T.N. and D. Subrahmanyam, 1982: The 30-50 Day Mode at 850 mb during Monex.

- J. Atmos. Sci.*, 39, 2088-2095.
- Tanaka, M., 1982: Interannual Fluctuations of the Tropical Easterly Jet and the Summer Monsoon in the Asian Region. *J. Met. Soc. Japan*, 60, 865-875.
- , —, 1983: Interaction Between the Active-Break Cycle of the Summer Monsoon and the Circulation in Eurasia and the Western Pacific. *J. Met. Soc. Japan*, 61, 455-463.
- Yasunari, T., 1986: Low-Frequency interactions between the Summer Monsoon and the Northern Hemisphere Westerlies. *J. Met. Soc. Japan*, 64, 693-708.
- , —, 1987: Global Structure of the El Nino/Southern Oscillation. *J. Met. Soc. Japan*, 65, 67-80.
- 朝倉 正, 1955: 梅雨の入りとモンスーンの入り, *天気*, 2, 186.

火山噴火予知研究シンポジウム(第2回)開催のお知らせ

1. 日 時: 昭和63年1月25日(月)9:00~17:30
2. 場 所: 日本学術会議講堂(東京都港区六本木7-22-34)
3. 内 容: 「火山活動の監視・観測」, 「最近の噴火から何を学んだか」, 「予知手法の開発と問題点」, 「基礎研究の展望」等に関し、あらかじ

め依頼した講演発表を行います。一般からの講演公募は致しません。

4. 連絡先: ☎113 東京都文京区弥生 1-1-1

東京大学地震研究所 井田喜明
(03-812-2111 内線5765)